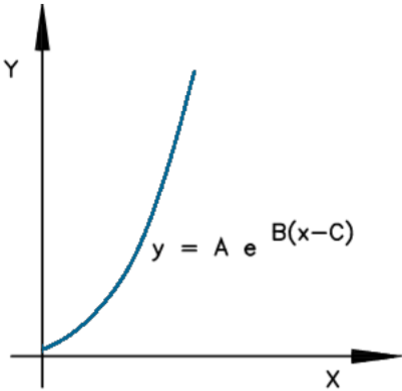


Dados de Curva de Saturação

Curva de saturação exponencial (tipo 2)

Esta curva possui o seguinte equacionamento:

$y = Ae^{B(x-C)}$



Dados das Máquinas

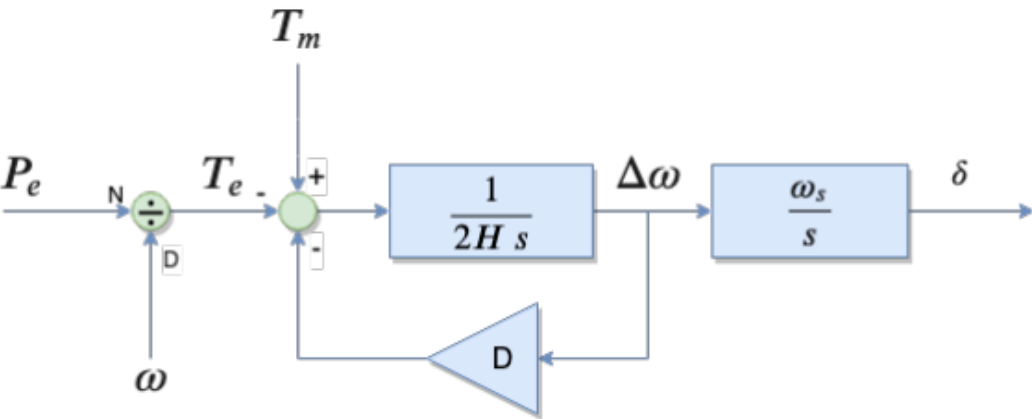


Fig. 16.1: Diagrama para a equação de oscilação eletromecânica

sendo:

$P_e$	potência elétrica ativa gerada pela máquina, em pu na base da máquina
$P_m$	potência mecânica da máquina, em pu na base da máquina
$\Delta\omega$	desvio da velocidade angular da máquina, em pu
$\omega$	velocidade angular da máquina, em pu
$\omega_s$	velocidade angular síncrona da máquina, em rad/s
$\delta$	ângulo absoluto do eixo q da máquina, em radianos

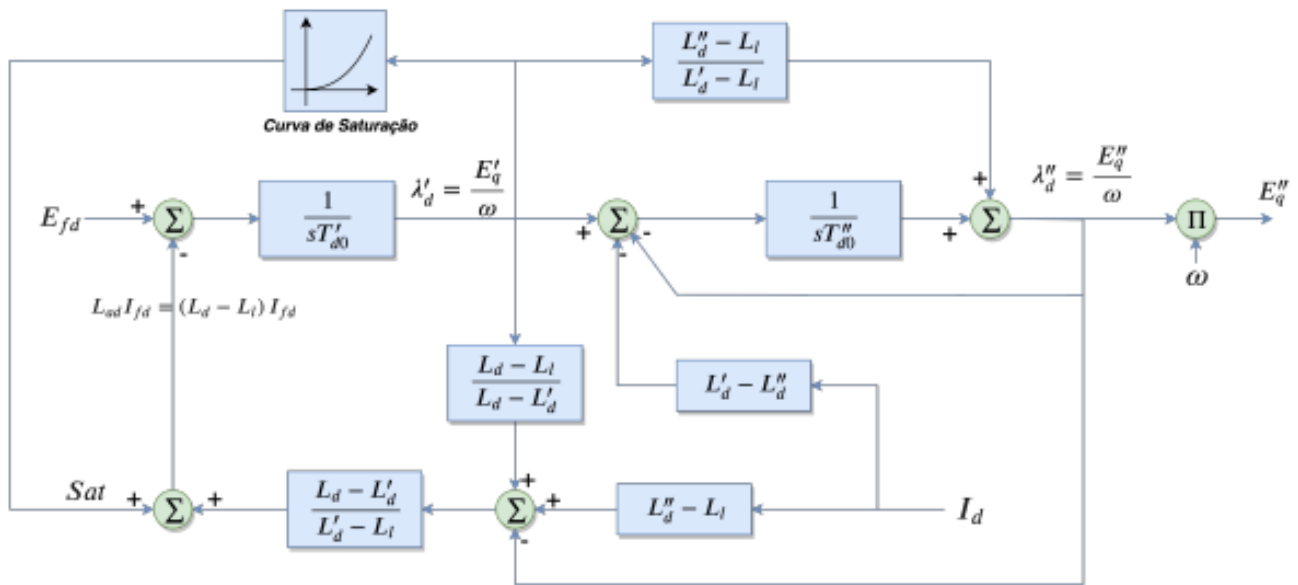


Fig. 16.3: Diagrama para as equações de eixo direto de máquina com polos salientes

$P_e$	potência elétrica ativa gerada pela máquina, em pu na base da máquina
$P_m$	potência mecânica da máquina, em pu na base da máquina
$\Delta\omega$	desvio da velocidade angular da máquina, em pu
$\omega$	velocidade angular da máquina, em pu
$\omega_s$	velocidade angular síncrona da máquina, em rad/s
$\delta$	ângulo absoluto do eixo q da máquina, em radianos
$E_{fd}$	tensão de campo da máquina, em pu
$E_q$	tensão proporcional à corrente de campo da máquina, em pu
$E'_d$	tensão transitória da máquina projetada no eixo d, em pu
$E'_q$	tensão transitória da máquina projetada no eixo q, em pu
$E''_d$	tensão subtransitória da máquina projetada no eixo d, em pu
$E''_q$	tensão subtransitória da máquina projetada no eixo q, em pu
$ E'' $	módulo da tensão subtransitória da máquina, em pu
$I_d$	corrente da armadura da máquina projetada no eixo d, em pu
$I_q$	corrente da armadura da máquina projetada no eixo q, em pu
$I_{fd}$	corrente de campo da máquina, em pu
$Sat$	saturação da máquina, em pu